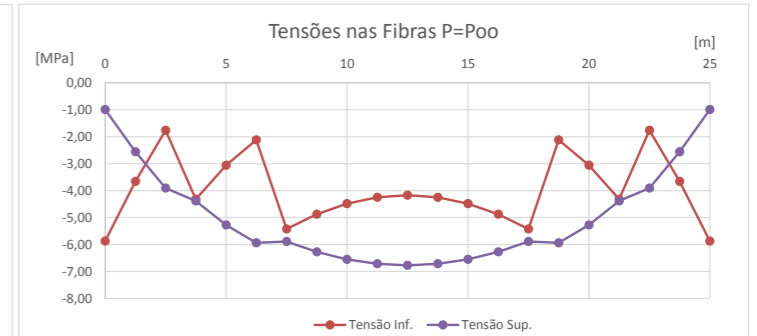
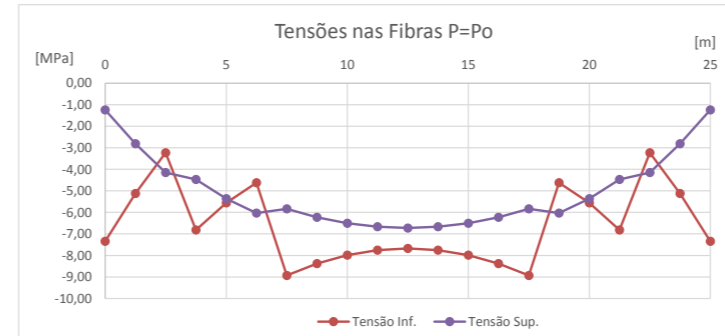
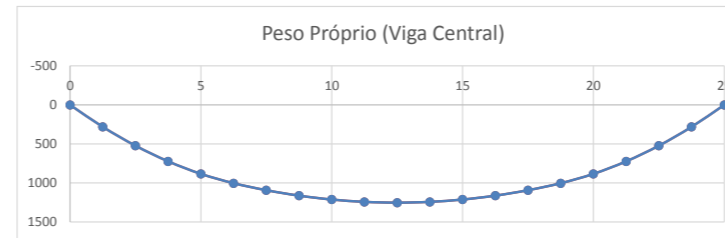


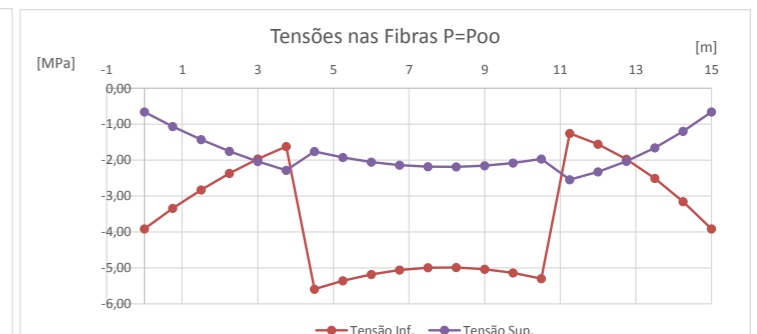
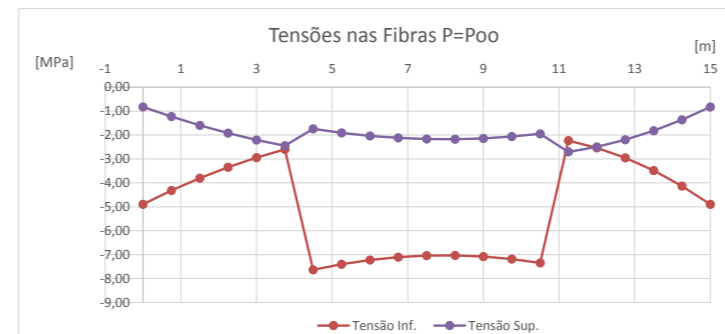
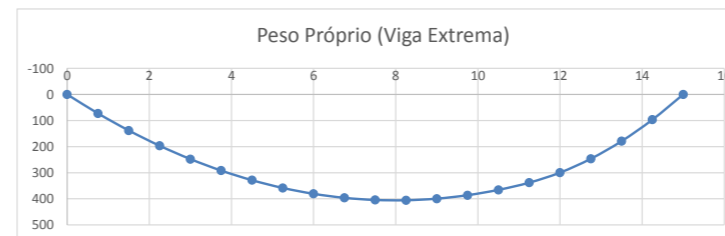
FASE 3.2 - APLICAÇÃO DE BETÃO C30/37 PARA POSTERIOR APLICAÇÃO DO SISTEMA DE PRÉ-ESFORÇO DE CONTINUIDADE

$e(i) = 0,551$ $\sigma = 1000 \text{ Mpa}$
 $I = 0,0819$ $A (\text{strand}) = 1,5 \text{ cm}^2$
 $A = 3,3582$
 $A_{\text{vig.iso}} = 0,4747$
 $v(i) = 0,6439$
 $v(s) = 0,4561$

Nó	L (m)	M	P = P ₀			P = P ₀₀			P = P ₀		P = P ₀₀	
			P _{inst,inf}	P _{inst,sup}	M _{pxe,inst}	P _{inst,inf}	P _{inst,sup}	M _{pxe,inst}	σ_{inf}	σ_{sup}	σ_{inf}	σ_{sup}
1	0	0	1192,73	596,36	-454,25	954,18	477,09	-363,40	-7,34	-1,24	-5,87	-0,99
2	1,25	282	1192,73	596,36	-454,25	954,18	477,09	-363,40	-5,13	-2,81	-3,66	-2,56
3	2,5	523	1192,73	596,36	-454,25	954,18	477,09	-363,40	-3,23	-4,15	-1,76	-3,90
4	3,75	724	1987,88	596,36	-898,66	1590,30	477,09	-718,93	-6,82	-4,47	-4,32	-4,38
5	5	884	1987,88	596,36	-898,66	1590,30	477,09	-718,93	-5,56	-5,36	-3,06	-5,27
6	6,25	1004	1987,88	596,36	-898,66	1590,30	477,09	-718,93	-4,62	-6,03	-2,12	-5,94
7	7,5	1093	2783,03	596,36	-1323,19	2226,42	477,09	-1058,55	-8,93	-5,84	-5,42	-5,89
8	8,75	1163	2783,03	596,36	-1323,19	2226,42	477,09	-1058,55	-8,38	-6,23	-4,88	-6,28
9	10	1212	2783,03	596,36	-1323,19	2226,42	477,09	-1058,55	-7,99	-6,50	-4,49	-6,55
10	11,25	1242	2783,03	596,36	-1323,19	2226,42	477,09	-1058,55	-7,76	-6,67	-4,25	-6,72
11	12,5	1252	2783,03	596,36	-1323,19	2226,42	477,09	-1058,55	-7,68	-6,72	-4,17	-6,77
12	13,75	1242	2783,03	596,36	-1323,19	2226,42	477,09	-1058,55	-7,76	-6,67	-4,25	-6,72
13	15	1212	2783,03	596,36	-1323,19	2226,42	477,09	-1058,55	-7,99	-6,50	-4,49	-6,55
14	16,25	1163	2783,03	596,36	-1323,19	2226,42	477,09	-1058,55	-8,38	-6,23	-4,88	-6,28
15	17,5	1093	2783,03	596,36	-1323,19	2226,42	477,09	-1058,55	-8,93	-5,84	-5,42	-5,89
16	18,75	1004	1987,88	596,36	-898,66	1590,30	477,09	-718,93	-4,62	-6,03	-2,12	-5,94
17	20	884	1987,88	596,36	-898,66	1590,30	477,09	-718,93	-5,56	-5,36	-3,06	-5,27
18	21,25	724	1987,88	596,36	-898,66	1590,30	477,09	-718,93	-6,82	-4,47	-4,32	-4,38
19	22,5	523	1192,73	596,36	-454,25	954,18	477,09	-363,40	-3,23	-4,15	-1,76	-3,90
20	23,75	282	1192,73	596,36	-454,25	954,18	477,09	-363,40	-5,13	-2,81	-3,66	-2,56
21	25	0	1192,73	596,36	-454,25	954,18	477,09	-363,40	-7,34	-1,24	-5,87	-0,99



Nó	L (m)	M	P = P ₀			P = P ₀₀			P = P ₀		P = P ₀₀	
			P _{inst,inf}	P _{inst,sup}	M _{pxe,inst}	P _{inst,inf}	P _{inst,sup}	M _{pxe,inst}	σ_{inf}	σ_{sup}	σ_{inf}	σ_{sup}
1	0	0	795,15	397,58	-302,83	636,12	318,06	-242,27	-4,89	-0,83	-3,91	-0,66
2	0,75	73	795,15	397,58	-302,83	636,12	318,06	-242,27	-4,32	-1,23	-3,34	-1,07
3	1,5	138	795,15	397,58	-302,83	636,12	318,06	-242,27	-3,81	-1,60	-2,83	-1,43
4	2,25	197	795,15	397,58	-302,83	636,12	318,06	-242,27	-3,35	-1,92	-2,37	-1,76
5	3	248	795,15	397,58	-302,83	636,12	318,06	-242,27	-2,95	-2,21	-1,97	-2,04
6	3,75	292	795,15	397,58	-302,83	636,12	318,06	-242,27	-2,60	-2,45	-1,62	-2,29
7	4,5	329	1590,30	397,58	-767,12	1272,24	318,06	-613,70	-7,64	-1,75	-5,59	-1,76
8	5,25	358	1590,30	397,58	-767,12	1272,24	318,06	-613,70	-7,40	-1,91	-5,36	-1,93
9	6	381	1590,30	397,58	-767,12	1272,24	318,06	-613,70	-7,22	-2,04	-5,18	-2,05
10	6,75	396	1590,30	397,58	-767,12	1272,24	318,06	-613,70	-7,10	-2,12	-5,06	-2,14
11	7,5	404	1590,30	397,58	-767,12	1272,24	318,06	-613,70	-7,04	-2,17	-5,00	-2,18
12	8,25	405	1590,30	397,58	-767,12	1272,24	318,06	-613,70	-7,03	-2,17	-4,99	-2,19
13	9	399	1590,30	397,58	-767,12	1272,24	318,06	-613,70	-7,08	-2,14	-5,04	-2,16
14	9,75	386	1590,30	397,58	-767,12	1272,24	318,06	-613,70	-7,18	-2,07	-5,14	-2,08
15	10,5	366	1590,30	397,58	-767,12	1272,24	318,06	-613,70	-7,34	-1,95	-5,30	-1,97
16	11,25	338	795,15	397,58	-302,83	636,12	318,06	-242,27	-2,24	-2,71	-1,26	-2,54
17	12	300	795,15	397,58	-302,83	636,12	318,06	-242,27	-2,54	-2,49	-1,56	-2,33
18	12,75	247	795,15	397,58	-302,83	636,12	318,06	-242,27	-2,95	-2,20	-1,98	-2,03
19	13,5	179	795,15	397,58	-302,83	636,12	318,06	-242,27	-3,49	-1,82	-2,51	-1,66
20	14,25	97	795,15	397,58	-302,83	636,12	318,06	-242,27	-4,13	-1,37	-3,15	-1,20
21	15	0	795,15	397,58	-302,83	636,12	318,06	-242,27	-4,89	-0,83	-3,91	-0,66



6 10 14

4 8